



## مدل سازی جریان آب جوش در مولد بخار VVER-1000

امیر صفوی<sup>\*</sup>, محمدرضا عبدی<sup>۲</sup>, منصور طالبی<sup>۳</sup>, محمدحسین استکی<sup>۴</sup>

۱. گروه مهندسی هسته‌ای، دانشکده علوم و فن آوری‌های نوین، دانشگاه اصفهان، صندوق پستی: ۸۱۷۴۶-۷۳۴۴۱، اصفهان - ایران

۲. گروه فیزیک، دانشکده علوم، دانشگاه اصفهان، صندوق پستی: ۸۱۷۴۶-۷۳۴۴۱، اصفهان - ایران

۳. گروه مهندسی پژوهشی، دانشکده فنی-مهندسی، دانشگاه اصفهان، صندوق پستی: ۸۱۷۴۶-۷۳۴۴۱، اصفهان - ایران

۴. پژوهشکده علوم و فن آوری‌های هسته‌ای، صندوق پستی: ۱۵۸۹، ۸۱۴۶۵-۱۰۰۰، اصفهان - ایران

**چکیده:** مدل عددی دو بعدی و سه بعدی مولد بخار VVER-1000، که در صنعت هسته‌ای کشور از آن استفاده می‌شود، در این مقاله ارایه شده است. برای مدل سازی انتقال حرارت جوشان، جوشش و میزان از روش اویلر-اویلر و در مدل سازی سه بعدی طرف ثانویه مولد بخار از یک مدل فضای مخلخل پیش از این گزارش شده توسط استوپسیک و استوانوویچ برای مولد بخار ۴۴۰، VVER-440، استفاده شده است. مدل فضای مخلخل به این معنی است که بسته لوله‌های طرف ثانویه به طور جزیی و دقیق مدل سازی نمی‌شوند، بلکه به صورت منبع‌های تکانه و انتالپی فرض می‌شوند. مدل‌های ساخته شده به کمک تابع‌هایی که در ANSYS-CFX تعریف شده‌اند، بهبود یافته‌اند. نتایج این مدل سازی مربوط به حالتی است که مولد در حد اکثر توان کار می‌کند. نتایج به دست آمده، توزیع درصد حجمی بخار و نقش جداگانه‌ی شناور را، که تنها در VVER-1000 وجود دارد، نشان می‌کند. برای راستی آزمایشگاهی استوانوویچ (۱۹۹۷) استفاده شد. مقایسه بین نتایج به دست آمده از مدل عددی و نتایج تجربی تطابق قابل قبولی را نشان داد. در مدل دو بعدی، توزیع سرعت بخار در مکان‌های مختلف به دست آمد.

**کلیدواژه‌ها:** مولد بخار VVER-1000، مدل عددی دو بعدی و سه بعدی، مدل فضای مخلخل

## The Model of Boiling Water Flow in the VVER-1000 Steam Generator

A. Safavi<sup>\*1</sup>, M.R. Abdi<sup>2</sup>, M. Talebi<sup>4</sup>, M.H. Esteki<sup>3</sup>

1. Department of Nuclear Engineering, Faculty of Advanced Sciences & Technologies, University of Isfahan, P.O.Box: 81746-73441, Isfahan – Iran

2. Department of Physics, Faculty of Sciences, University of Isfahan, P.O.Box: 81746-73441, Isfahan – Iran

3. Department of Biomedical, Faculty of Engineering, University of Isfahan, P.O.Box: 81746-73441, Isfahan – Iran

4. Nuclear Science & Technology Research Institute (NSTRI), P.O.Box: 81465-1589, Isfahan – Iran

**Abstract:** 2D and 3D numerical models of a steam generator for VVER-1000 type nuclear reactors used in the nuclear industry is presented. For the calculation Euler-Euler approach is applied for modeling the boiling heat transfer, boiling and recondensation. In the 3D model, the secondary side of the steam generator is simulated by the porosity model presented earlier by Stosic and Stevanovic. In the Porosity model, the tubes of the primary circuit are not described in detail, but they are modeled as sources of enthalpy and pressure loss. The physical models were implemented by user-defined programs in ANSYS-CFX12.1 computational fluid dynamics software. The results of the 3D thermal-hydraulic modeling of the steam generator in the Russian type VVER-1000 NPP for the full load operating condition are presented. The results clearly illustrate a void fraction distribution. Moreover, the role of submerged perforated sheet is investigated. The results are compared with a published paper in 1999 by Stevanovic. There is a good agreement between the introduced calculation. In addition, in the 2D model, the superficial velocity of water vapor is calculated as well.

**Keywords:** VVER-1000 Steam Generator, 2D and 3D Model, Porous Media Model

\*email: amir.safavi.1365@gmail.com

تاریخ دریافت مقاله: ۹۱/۷/۱۵ تاریخ پذیرش مقاله: ۹۲/۴/۳۰



## جدول ۱. مشخصات گرمایی مولد بخار ۱۰۰۰ VVER

طرف ثانویه		طرف اولیه					
فشار	آب	بخار	دمای آب	دما	توان	گرمایی	
(kg s⁻¹)	(kg s⁻¹)	(kg s⁻¹)	(°C)	(°C)	(MW)	(ورودی/خروجی)	
۷,۸۴	۴۰,۸	۴۰,۸	۲۰۰	۳۲۰,۲۹۰	۷۵۰		

پس از محاسبه‌ی درصد حجمی بخار در مکان‌های مختلف مدل سه بعدی و بررسی نقش جداکننده‌ی شناور، یک مدل دو بعدی از مولد بخار آورده شد. در مدل دو بعدی که در آن دسته لوله‌ها برای اولین بار نسبت به کارهای قبلی به طور کامل مدل‌سازی شد، معادله‌های جریان حل، و سرعت بخار در نواحی مختلف، و سرعت پیشینه و کمینه بخار در مولد بخار محاسبه شد. محاسبه‌ی سرعت دقیق که در این مدل صورت گرفت، در تحلیل ارتعاشاتی و عمر خستگی لوله در مولد بخار قابل استفاده است.

**۲. مدل‌سازی مولد بخار ۱۰۰۰ VVER و شبکه‌بندی آن**  
برای شبکه‌بندی مدل، از ۴۵۰۰۰۰ عنصر شش وجهی و منشوری استفاده شد. در شکل ۱ نمایی از مدل رسم، و تراکم مش‌بندی آورده شده است. دوایر قرمز رنگ، مربوط به مدل‌سازی منبع آب تغذیه هستند که با منابع حجمی شبیه‌سازی شده‌اند. از عنصرهای منشوری در نواحی مرزی، که در آن تغییرهای پارامترهای سیالی شدید است، استفاده شده است.

**۳. مدل‌سازی جداکننده‌ی شناور**  
 جداکننده‌ی شناور در واقع یک جداکننده‌ی بخار است که در وسط مولد بخار قرار دارد، و در آب موجود در مولد، شناور است. در صورت مدل‌سازی این صفحه به صورت کامل، حل عددی بسیار پیچیده و زمان‌بر می‌شد، در نتیجه، به جای مدل‌سازی هندسی این صفحه، نقش این صفحه مدل‌سازی شد، به این صورت که در مکان جداکننده‌ی شناور یک شرط مرزی از نوع شرط مرزی باز<sup>(۲)</sup> در نظر گرفته شد.

**۴. جریان‌های دو فازی**  
 مدل‌سازی جریان دو فازی به دو دسته‌ی همگن و ناهمگن تقسیم شد.

## ۱. مقدمه

تحلیل مشخصات جریان از جمله سرعت، درصد حجمی و میزان رسوبات از اهمیت بهسزایی در طراحی و نگهداری مولد بخار برخوردار است. استوانوویچ (۱۹۹۹) به کمک یک کد سه بعدی، درصد حجمی بخار در مکان‌های مختلف مولد بخار ۱۰۰۰ VVER را محاسبه و با نتایج تجربی مقایسه کرد [۱]. کریستف (۲۰۰۸) جریان‌های طرف ثانویه مولد بخار VVER-۴۴۰ را بررسی و نواحی با رسوب‌گذاری بیشتر و بهترین مکان برای تعییه سیستم تعویض آب مولد بخار را تعیین نمود [۲]. پاتیگانگاس (۲۰۱۰) طرف ثانویه و اولیه مولد بخار را شبیه‌سازی کرد، به این صورت که ابتدا به کمک کد آپروس<sup>(۱)</sup> دمای خارجی لوله‌ها در مکان‌های مختلف را تعیین، و با برهم نهی این مقادیر در شبکه‌بندی طرف ثانویه، شکل جریان‌ها و درصد حجمی در مکان‌های مختلف را محاسبه کرد [۳]. فرنگ (۲۰۰۷) تأثیر توان‌های مختلف رآکتور بر پارامترهای گرمایی مولد بخار عمودی را به دست آورد [۴]. مولد بخار بررسی شده در این مقاله، مولد بخار ۱۰۰۰ VVER است که با مولد بخار VVER-۴۴۰ متقاوت است. مولد بخار بررسی شده شامل ۱۰۰۰ لوله‌ی U شکل به قطر ۱۶ میلی‌متر بود. گام عمودی لوله‌ها، ۳۸ میلی‌متر و گام افقی آن‌ها ۲۳ میلی‌متر بود. مشخصات گرمایی این مولد بخار در جدول ۱ ارایه شده است. مهم‌ترین اختلاف مولد بخار ۱۰۰۰ مکاواتی با نوع ۴۴۰ مکاواتی وجود جداکننده‌ی شناور است. این جداکننده‌ی شناور نقش مهمی در همگنی پارامترهای گرمایی در مولد بخار دارد. درون مولد بخار دو جداکننده وجود دارد: جداکننده‌ی اول به صورت شناور روی جریان قرار دارد و جداکننده‌ی دوم در بالای مولد بخار است و بخار عبوری از آن کیفیت تقریباً ۱۰۰٪ دارد. در این مقاله از دو مدل دو بعدی و سه بعدی استفاده شده است تا نقش جداکننده‌ی شناور و همچنین مشخصات جریان‌های موجود در مولد بخار بررسی شود. در هیچ کار مشابهی تاکنون نقش جداکننده‌ی شناور در مولد بخار بررسی نشده است. به همین منظور، ابتدا یک لوله از دسته لوله‌های شار گرمایی طرف اولیه به ثانویه به کمک یک تابع یک بعدی تعریف و در مدل طرف ثانویه سه بعدی وارد شد. برای تعریف افت فشار ناشی از دسته لوله‌ها نیز از ناجیهی متخلخل با یک جمله‌ی منع تکانه استفاده شد.

سرعت سیال و فرمول پایستگی تکانه برای این مدل چنین اند

$$U_\alpha = U \quad (6)$$

$$\frac{\partial(\rho U)}{\partial t} + \nabla \bullet (\rho U \otimes U - \mu(\nabla U + (\nabla U)^T)) = S_M - \nabla p \quad (7)$$

که در آن،

$$\rho = \sum_{\alpha=1}^{N_p} r_\alpha \rho_\alpha \quad (8)$$

$$\mu = \sum_{\alpha=1}^{N_p} r_\alpha \mu_\alpha \quad (9)$$

فرمول پایستگی جرم این است

$$\frac{\partial(r_\alpha \rho_\alpha)}{\partial t} + \nabla \bullet (r_\alpha \rho_\alpha U) = S_{MS\alpha} + \sum_{\beta=1}^{N_p} \Gamma_{\alpha\beta} \quad (10)$$

و قانون محدودیت درصد حجمی چنین است

$$\sum_{\alpha=1}^{N_p} r_\alpha = 1 \quad (11)$$

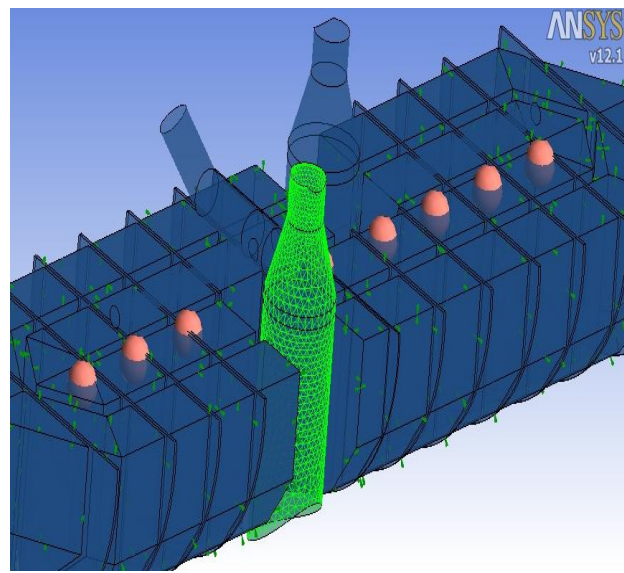
که در آن،  $\Gamma_{\alpha\beta}$  مقدار منبع جرمی فاز  $\alpha$  بر یکای حجم است که در اثر انتقال فاز به این فاز می‌آید.

از این مدل بهتر است در جریان‌های چند فازی، که فازهای مستقل دارند، استفاده نشود. مدل همگن، حالت محدود جریان دوفازی اویلر-اویلر است و در جریان‌های دوفازی، که انتقال جرم بالایی صورت می‌گیرد، از این روش استفاده می‌شود. این روش در حالت‌های زیر به کار می‌رود:

- در جریان‌هایی که فازها کاملاً طبقه طبقه هستند، یعنی مرز بین فازها معلوم است و همه جا به غیر از نواحی مرزی درصد حجمی یا ۱ است یا صفر و منطقی است که در هر نقطه یک بردار سرعت فرض شود.

- در جریان‌هایی که نیروی کشش نیروی غالب نیست، یا اگر هم نیروی کشش قابل ملاحظه‌ای وجود دارد، باید با باقی نیروها در حالت تعادل باشد، به صورتی که اختلاف سرعت بین فازها کم باشد.

در این مقاله برای مدل‌سازی جریان‌های دوفازی طرف ثانویه‌ی مولد از این مدل ناهمگن جریان دوفازی استفاده شد. در



شکل ۱. مدل مولد بخار VVER-1000 و تراکم شبکه‌بندی آن.

در مدل جریان دو فازی همگن، بعضی مشخصه‌های دو جریان مانند سرعت و مشخصه‌های اغتشاشی جریان، برای هر دو جزء، مشترک فرض شد. این مدل، باعث ساده‌سازی روند حل مساله شد. در مدل همگن فرض شد که تمام خواص انتقالی به جز درصد حجمی برای تمام فازهای جریان یکی است

$$\Phi_\alpha = \varphi \quad 1 \leq \alpha \leq N_p \quad (12)$$

از آنجا که خواص انتقالی در معادله‌های همگن، بین فازها مشترک است، مناسب است که به جای حل تک‌تک فازها به طور مستقل از معادله‌های انتقالی برآیند استفاده شود. معادله‌های انتقال حجمی را می‌توان از مجموع معادله‌های انتقال مستقل بر روی همه فازها استنتاج کرد تا یک معادله انتقال برآیند برای فاز  $Q$  به دست آید

$$\frac{\partial}{\partial t} (\rho \Phi) + \nabla \bullet (\rho U \varphi - \Gamma \nabla \Phi) = S \quad (13)$$

که در آن،

$$\rho = \sum_{\alpha=1}^{N_p} r_\alpha \rho_\alpha \quad (14)$$

$$U = \frac{1}{\rho} \sum_{\alpha=1}^{N_p} r_\alpha \rho_\alpha U_\alpha \quad (15)$$

$$\Gamma = \sum_{\alpha=1}^{N_p} r_\alpha \Gamma_\alpha P \quad (16)$$



لوله‌های موجود در مبدل برابر ۷۲° بود. معادله‌های پایستگی برای فاز  $q$  در جدول ۲ آورده شده است که در آن  $\alpha_q$  درصد حجمی،  $\rho_q$  چگالی،  $h_q$  انتالپی بر یکای جرم و  $V_q$  سرعت فاز  $q$  است. جرم منتقل شده بین فازها که به وسیله‌ی تبخیر و میعان انجام می‌شود، به وسیله‌ی ضریب  $\Gamma_e$  و  $\Gamma_c$  نشان داده شده، و آهنگ جریان آب تغذیه است. جمله‌ی منبع تکانه در سمت راست معادله‌ی تکانه با  $S_{m,q}$  نشان داده شده است و شامل شبکه انتقال تکانه بین فازها، نیروی بالابر، نیروهای گرانشی و آشفتگی است.

## ۶. جمله‌ی منبع تکانه<sup>(۳)</sup>

در قانون پایستگی تکانه، جمله‌ی منبع تکانه عبارت است از

$$S_{M,q} = -\alpha_p \nabla p + \nabla \cdot \tau_q + \alpha_p \rho_g g + R_{pq} + F_{CE,q} + F_{lift,q} + F_{vm,q} + F_{DF,q} \quad (15)$$

که در آن  $P$  و  $g$ ، به ترتیب، فشار و شتاب گرانشی،  $\tau_q$  تانسور تنش،  $R_{pq}$  نیروی استهلاکی بین فازها،  $F_{DF,q}$  نیروی استهلاکی ایجاد نشده به وسیله‌ی دسته لوله‌های طرف اولیه و  $F_{CE,q}$  نیروی انتقال تکانه بین فازها است. در حالتی که بین فازها انتقال جرم وجود ندارد، نیروی بالابر<sup>(۴)</sup> و نیروی جرم مجازی<sup>(۵)</sup> در نظر گرفته نمی‌شود. مهم‌ترین نیرویی که باعث چرخش جریان دوفازی در مولد بخار می‌شود، نیروی گرانشی، اصطکاک بین دیوارها و بین دو سیال است. نیروی اصطکاک بین فازها نسبت مستقیم با اختلاف سرعت بین فازها دارد

$$R_{r,r} = K_{r,r} (V_r - V_i) \quad (16)$$

این مدل، هر فاز، معادله‌های مربوط به خود را دارد و دو فاز با جمله‌های انتقال بین فاز با هم در ارتباط هستند. در این مدل برای هر سیال یک زمینه‌ی مجزای حل در نظر گرفته می‌شود. برای مثال دو سیال ممکن است بردارهای سرعت و یا دماهای متفاوت در یک نقطه داشته باشند. فرمول پایستگی تکانه برای این مدل این است

$$\frac{\partial(r_a \rho_a U_a)}{\partial t} + \nabla \cdot r_a (\rho_a U_a \otimes U_a) = -r_a \nabla p_a + \nabla \cdot (r_a \mu_a (\nabla U_a + (\nabla U_a)^T)) + \sum_{\beta=1}^{N_p} (\Gamma_{\alpha\beta}^+ U_\beta - \Gamma_{\alpha\beta}^- U_\alpha) + S_{Ma} + M_a \quad (12)$$

که در آن،  $M_a$  اثر بین فاز است، به این معنی که اثر و نیرویی که فازهای دیگر بر فاز  $a$  دارند

$$M_a = \sum_{\alpha=\beta} M_{\alpha\beta} \quad (13)$$

و معادله‌ی پایستگی جرم چنین است

$$\frac{\partial(r_a \rho_a)}{\partial t} + \nabla \cdot (r_a \rho_a U_a) = S_{MSa} + \sum_{\beta=1}^{N_p} \Gamma_{\alpha\beta} \quad (14)$$

قانون محدودیت درصد حجمی یعنی معادله‌ی (11) در این مدل هم صادق است.

## ۵. مدل‌سازی دسته لوله‌ها

برای مدل‌سازی دسته لوله‌ها از مدل فضای متخلف استوسيک و استوانوويچ استفاده شد [۵]، به این صورت که دسته لوله‌ها به عنوان یک ناحيی متخلف با یک ضریب تولید کننده‌ی تکانه تعریف شد تا اثرات افت فشار جریان بخار و آب طی عبور از دسته لوله‌ها شبيه‌سازی شود. ميزان تخلخل حجم برای دسته

جدول ۲. معادله‌های پایستگی برای فاز

آب	بخار
$\frac{\partial(\alpha_r \rho_r)}{\partial t} + \nabla \cdot (\alpha_r \rho_r \vec{u}_r) = +\Gamma_e - \Gamma_c$	$\frac{\partial(\alpha_r \rho_r)}{\partial t} + \nabla \cdot (\alpha_r \rho_r \vec{u}_r) = -\Gamma_e + \Gamma_c + M_{fw}$
$\frac{\partial(\alpha_r \rho_r \vec{u}_r)}{\partial t} + \nabla \cdot (\alpha_r \rho_r \vec{u}_r \vec{u}_r) = S_{M,q}$	$\frac{\partial(\alpha_r \rho_r \vec{u}_r)}{\partial t} + \nabla \cdot (\alpha_r \rho_r \vec{u}_r \vec{u}_r) = S_{M,q}$
$\frac{\partial(\alpha_r \rho_r h_r)}{\partial t} + \nabla \cdot (\alpha_r \rho_r h_r \vec{u}_r) = S_{E,q}$	$\frac{\partial(\alpha_r \rho_r h_r)}{\partial t} + \nabla \cdot (\alpha_r \rho_r h_r \vec{u}_r) = S_{E,q}$
	$\alpha_1 + \alpha_t + \alpha_r = 1$
	پایستگی حجم



برای ضریب تغییر تکانه بین دو فاز،  $K_{21}$  از مدل متقارن<sup>(۶)</sup> استفاده شد. نیروی کشش<sup>(۷)</sup> بر سیال شامل دو جز است: (۱) جمله‌ی گرانزو<sup>(۸)</sup>، که متناسب با سرعت سیال است؛ (۲) ضریب اتلاف ماندی که متناسب با مجدوز سرعت است. در سرعت‌های بالا، قسمت خطی یعنی عبارت گرانزو را می‌توان در نظر نگرفت. نیروی اصطکاک حاصل از لوله‌ها این است

آب تغذیه، روی لوله‌ها پاشیده شده و با آب اشباع با دمای ۲۷۸/۴۱ درجه‌ی سانتی‌گراد مخلوط می‌شود. با ترکیب آب تغذیه با آب جوشان، دمای آب تغذیه به دمای اشباع می‌رسد و شروع به جوشیدن می‌کند. برای مدل‌سازی تغییر فاز، دو روش مختلف در مسایل گوناگون استفاده شده است: در روش اول، سه فاز- فاز آب زیر سرد، آب با دمای اشباع و فاز- فاز بخار اشباع در نظر گرفته می‌شود. آهنگ‌های جریان تغییر فاز مختلف به کمک معادله‌های ساده در مدل‌سازی استفاده می‌شود. مزیت این روش این است که حل معادله‌ی گرما در مدل‌سازی لازم نیست. در روش دوم که در این مقاله از آن استفاده شده است، در هر عنصر، در صورت بیشتر از انتالپی بخار اشباع بودن انتالپی سیال، تغییر فاز صورت می‌گیرد و در صورت کمتر از انتالپی سیال زیر سرد بودن، که این حالت در ترکیب با آب تغذیه مشاهده می‌شود، معیان رخ می‌دهد. حل معادله‌ی گرما در این حالت ضروری است [۶].

## ۸. سیستم کنترل سطح آب

در مولد بخار نیروگاه هسته‌ای، یک سیستم آب تغذیه‌ی بحرانی وجود دارد، که در صورتی که سطح آب در مولد بخار از حد معینی پایین‌تر رود، این سیستم به کار افتاده و آب تغذیه با دمای محیط به درون مولد بخار فرستاده می‌شود. این سیستم در محیط زبان برنامه‌نویسی فرترن مدل‌سازی شده و در مدل اصلی به عنوانتابع‌های تعریف شده توسط کاربر<sup>(۱۰)</sup> وارد شدند. در هنگام حل معادله‌های جریان، این تابع‌ها نیز در نظر گرفته شدند و در صورتی که در طی حل، سطح آب از میزان تعریف شده کمتر می‌شد، از مکان‌هایی که در مدل تعریف شده‌اند آب با دمای محیط به مولد وارد می‌شد.

## ۹. مدل‌سازی شار گرمایی منتقل شده از طرف اولیه‌ی

**مولد به طرف ثانویه‌ی آن**  
در مولدهای بخار برای انتقال حرارت سیال خنک‌کننده‌ی رآکتور به سیال ثانویه از دسته لوله‌ها (شکل ۱) استفاده می‌شود. به این ترتیب، ابتدا سیال اولیه یا همان سیال خنک‌کننده‌ی رآکتور با عبور از اطراف دسته لوله‌ها، گرمای میله‌های سوخت

$$F_{DF,q} = -\mu_q D_q V_q \frac{1}{\eta} \rho_q |V_q| C_q V_q \quad (17)$$

که  $C_q$  در آن، ضریب اتلاف ناگرانزو،  $\mu_q$  گرانزوی پویا و ضریب اتلاف گرانزو است. جمله‌ی اتلاف گرانزو صفر در نظر گرفته می‌شود یعنی،  $D_q = 0$ . با توجه به مدل استوسيک و استوانوويچ [۵] اتلاف‌های اصطکاکی جریان متقطع در لوله‌ها از ترکیب ضریب اتلاف اصطکاکی یک لوله و مجموع اثرهای تمام لوله‌ها به دست می‌آید

$$f_{Cross Flow} = A Re_m^{-n} \quad (18)$$

$$C_{Cross Flow} = \frac{f_{Cross Flow}}{P} \quad (19)$$

که در آن،  $\Gamma$  لوله‌ها در جهتی است که جریان آن را قطع می‌کند، و  $Re$  عدد رینولدز است که به کمک مشخصه‌های جریان محاسبه می‌شود؛ برای این مدل مقادیر  $A=3/29$  و  $n=0.18$  در نظر گرفته شد و در جهت موازی لوله‌ها از همبستگی بلازریوس<sup>(۴)</sup> استفاده شد.

$$f_{CoFlow} = \frac{0.3165}{Re_m^{0.75}} \quad (20)$$

$$C_{CoFlow} = \frac{f_{CoFlow}}{d_e}$$

که  $d_e$  در آن قطر معادل است.



## ۱۰. نتایج

بررسی عملکرد مولد بخار نیازمند درصد حجمی بخار در هر ناحیه است، زیرا در صورتی که درصد بخار در مکان‌هایی که دسته لوله‌ها هستند، از مقدار معینی بیشتر باشد، لوله‌ها آسیب  $x=0$  می‌ینند. برای نمونه درصد حجمی بخار در صفحه‌ی  $x=0$  یعنی صفحه‌ی گذرنده از مرکز مولد بخار در شکل ۴ نشان داده شده است. وجود جداکننده‌ی شناور باعث می‌شود بخار در سمت داغ مولد بخار پایین نیاید زیرا در نبود این جداکننده، پاشش آب تغذیه بر روی دسته لوله‌ها بخار را پایین می‌کشد و باعث می‌شود بخار در سمت داغ مولد بخار پایین بیاید. به جز قسمت بالای مولد بخار که جریان در آن ماهیت سه بعدی دارد در پایین مولد بخار به دلیل وجود جداکننده‌ها ماهیت جریان دو بعدی است و می‌توان جریان را در دو بعد بررسی کرد. مدل دو بعدی شامل ۸۵۴۰۰۰ مش است و به جای ناحیه‌ی متخلخل، کل دسته لوله‌ها را مورد بهره‌برداری قرار می‌دهد. در شکل ۵ سرعت جریان بخار در مکان‌های مختلف مولد آورده شده است.

## ۱۱. مقایسه با نتایج تجربی

آزمایش‌های محدودی در ارتباط با مولد بخار ۱۰۰۰ مگاواتی انجام شده است. از نتایج این آزمایش‌ها برای راستی آزمایی حل عددی در این مقاله استفاده شد. این داده‌های آزمایشی مربوط به ۱۵ نقطه هستند که در شکل ۶ نشان داده شده‌اند [۱]. در جدول ۳ این داده‌ها با مقادیر به دست آمده از حل عددی به کمک کد ۳D-ANA و مقدار شبیه‌سازی شده به وسیله‌ی CFX مقایسه شده‌اند. مقدار محاسبه شده با هر دو کد در اکثر نقاط از دقت قابل قبولی برخوردار است و اختلاف مشاهده شده مربوط به تفاوت‌های جزئی در نوع مولد بخار، خطای احتمالی آزمایش و یا خطای حل عددی است.

## ۱۲. بحث و نتیجه‌گیری

مقادیر محاسبه شده برای درصد حجمی بخار در مکان‌های مختلف با مقادیر محاسبه شده در آزمایش مرجع [۱۰] تطابق دارد و این نشان از درست بودن حل عددی است.

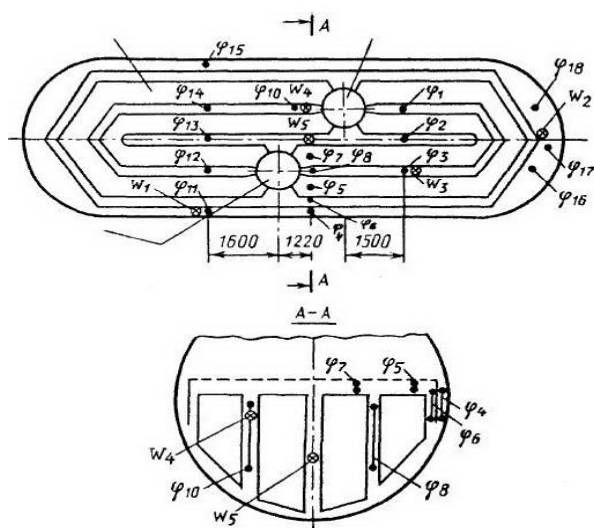
وجود جداکننده‌ی شناور باعث می‌شود بخار به همراه آب تغذیه‌ی پاشیده شده، پایین نیاید و جریان در مولد بخار تقریباً یکنواخت شود. در صورت آسیب دیدن این جداکننده، بخار در سمت داغ مولد پایین می‌آید و آب در سمت سرد بالا می‌رود (شکل ۴).

را می‌گیرد و سپس این سیال با عبور از دسته لوله‌های مولد بخار گرمای خود را به سیال ثانویه انتقال می‌دهد. شار عبوری بین طرف اولیه و ثانویه در نقاط اطراف جمع‌کننده‌ی ورودی، به دلیل گرمای بالای سیال اولیه، بالا و در اطراف جمع‌کننده‌ی خروجی به دلیل کاهش گرمای سیال اولیه، پایین‌تر است. برای شبیه‌سازی جریان‌های سیال طرف ثانویه، مدل‌سازی این وابستگی شار به فضای هندسه‌ای مولد بخار الزامی است. در پژوهش‌های پیشین در این زمینه، برای مدل‌سازی شار گرمایی از طرف اولیه به ثانویه از دمای سیال اولیه شارنده در دسته لوله‌ها استفاده می‌شده است، به این صورت که چرخه‌ی اولیه یعنی همان چرخه‌ی بین رآکتور و مولد بخار به کمک کدهای مختلف شبیه‌سازی شده و توزیع دمای سیال خنک‌کننده در درون دسته لوله‌ها به دست می‌آمده است، سپس با نسبت دادن این دما به شبکه‌های حل عددی، طرف ثانویه‌ی شار گرمایی بین چرخه‌ی اولیه و ثانویه مدل‌سازی می‌شده است.

در این مقاله برای مدل‌سازی این چنینی از وابستگی یک بعدی شار در راستای لوله‌ها استفاده شد، به این صورت که یک لوله از این دسته لوله‌ها انتخاب، رسم و شبکه‌بندی شده و شرایط مزدی مطلوب در ورودی و خروجی و پوسته‌ی لوله در نظر گرفته شد (شکل‌های ۲ و ۳). دمای خنک‌کننده در ورودی و خروجی لوله، به ترتیب،  $320^{\circ}\text{C}$  و  $290^{\circ}\text{C}$  و فشار  $15.7 \text{ MPa}$  در نظر گرفته شد. برای پوسته‌ی لوله نیز به دلیل پدیده‌ی تبخیر، فشار و دمای تبخیر، به ترتیب،  $6.27 \text{ MPa}$  و  $278.41^{\circ}\text{C}$  در نظر گرفته شد. سیال داغ از ناحیه‌ی ورودی وارد، و پس از گذشتن از لوله و تبادل گرما با سیال خارج لوله، که دمای ثابتی دارد، از سمت خروجی خارج می‌شد. پس از مدل‌سازی لوله‌ی انتخابی از دسته لوله‌ها، جریان در این لوله به طور عددی حل، و بر شارهای گرمایی به دست آمده در فواصل مختلف، مناسب‌ترینتابع نمایی برآذش شد. تابع به دست آمده، در مدل اصلی به عنوان تابع تعريف شده توسط کاربر وارد شد

$$q_i \left( \frac{\text{kWatt}}{\text{m}^2} \right) = 1410 \exp(-4l_i) \quad (21)$$

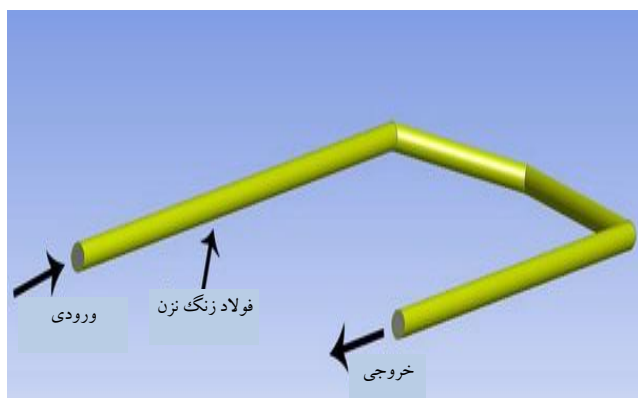
که  $l_i$  در آن طول عنصر لوله است. برای مثال شار گرمایی ویژه‌ی عنصر لوله در طول ۲ متری،  $25.82 \text{ kWatt/m}^2$  است.



شکل ۶. نقاط مربوط به داده‌های تجربی [۱].



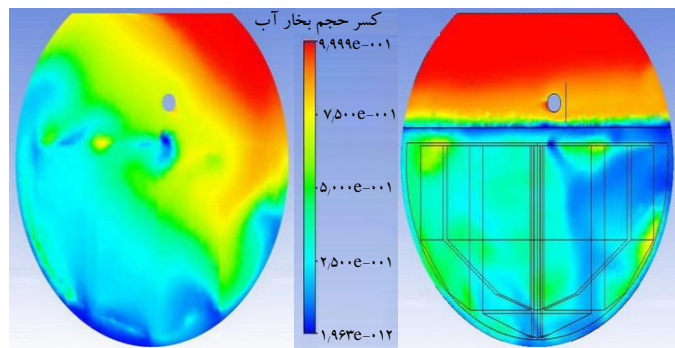
شکل ۲. نمایی از یک دسته لوله.



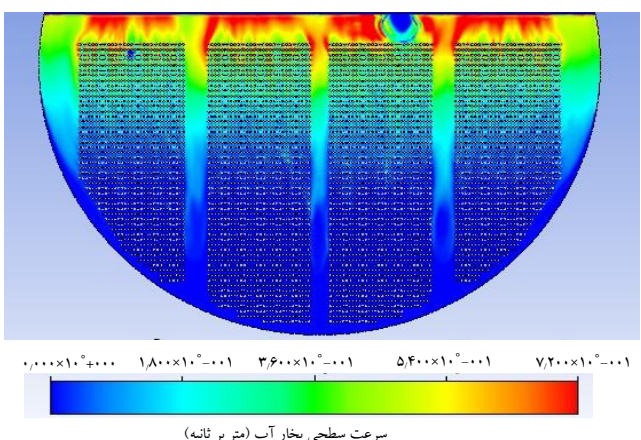
شکل ۳. لوله‌ی انتخابی از بین دسته لوله‌ها برای تعیین تابع شار گرمایی بین طرف اولیه و ثانویه‌ی لوله.

کار موردن بمح	استوانه‌ی پاک 3D-ANA [۱]	STEG-۰۱ مليخو و همکاران (۱۹۹۵)	تجربی کارپین [۹] (۱۹۹۴)	تجربی آجیو و همکاران [۸,۷] (۱۹۸۷)	خلال	نقاط
۰,۴۴	۰,۴۸	۰,۵۵	۰,۵۰	۰,۳۰	φ₁	
۰,۵۶	۰,۵۱	۰,۶۳	۰,۱۸	۰,۴۵	φ₂	
۰,۵۱	۰,۵۴	۰,۵۴	۰,۴۲	۰,۴۵	φ₃	
۰,۷۶	۰,۶۱	-	-	۰,۸۰	φ₄	
۰,۹۲	۰,۷۰	۰,۸۴	-	۱,۰۰	φ₅	
۰,۷۶	۰,۷۰	۰,۷۷	۱,۰۰	۰,۷۰	φ₆	
۰,۸۰	۰,۷۱	۰,۸۹	۰,۹۸	۱,۰۰	φ₇	
۰,۶۲	۰,۵۷	۰,۵۵	۰,۴۸	۰,۵۵	φ₈	
۰,۴۲	۰,۴۸	۰,۵۶	-	۰,۴۷	φ₁₀	
۰,۶۱	۰,۵۷	۰,۵۱	۰,۵۴	۰,۵۲	φ₁۲	
۰,۴۹	۰,۵۳	۰,۶۳	۰,۱۵	۰,۵۰	φ₁۳	
۰,۵۲	۰,۵۰	۰,۵۴	۰,۵۶	۰,۵۵	φ₁۴	
۰,۴۸	۰,۴۳	-	-	۰,۳۸	φ₁۵	

در مدل دو بعدی، سرعت جریان در مکان‌های مختلف مولد بخار محاسبه شد. با توجه به شکل ۵ در نواحی بین دسته لوله‌ها سرعت بخار بیشتر است که این موضوع به دلیل افت فشاری است که لوله‌ها ایجاد می‌کنند. از سرعت بخار در طی عبور از دسته لوله‌ها کاسته می‌شود. این سرعت در نزدیکی جداکننده‌ی شناور به مقدار بیشینه‌ی ۰,۷۲ متر بر ثانیه رسید. طبق نتایج شیوه‌سازی، لوله‌ایی که در ردیف‌های بالایی دسته لوله‌ها هستند نسبت به باقی لوله‌ها بیشتر در معرض آسیب ناشی از ارتعاش هستند و در نتیجه عمر خستگی این لوله‌ها نیز کم‌تر است.



شکل ۴. اثر جداکننده‌ی شناور بر درصد حجمی بخار.



شکل ۵. سرعت بخار آب در مکان‌های مختلف مولد بخار.

**پی‌نوشت‌ها**

- ۱. Apros
- ۲. Opening Boundary Condition
- ۳. Momentum Source Terms
- ۴.  $F_{DF,q}$
- ۵.  $F_{vm,q}$
- ۶. Symmetric Model
- ۷. Drag Force
- ۸. Viscous Loss Term
- ۹. Blasius Correlation
- ۱۰. User-Defined Function

**مراجع**

1. V. Stavanic, M. Studovic, 3D modelling as a support to thermal-hydraulic safety analyses with standard codes, Faculty of Mechanical Engineering, University of Belgrade (1999).
2. G. Kristof, K. Szabo, T. Regert, Modeling of boiling water flow in the horizontal steam generator of the paks nuclear power plant, CFD. HU Ltd, Budapest, Hungry (2008).
3. T. Pätkangas, J. Niemi, V. Hovi, SGEN summary report: CFD modeling of horizontal steam generators (2010).
4. Y. M. Ferng, H. J. Chang, CFD investigation the impacts of changing operating conditions on the thermal–hydraulic characteristics in a steam generator, Nuclear Science and Technology Development Center, National Tsing Hua University (2007).
5. Z. V. Stosic and Stevanovic, V.D. advanced three-dimensional two-fluid porous media method for transient two-phase flow thermal-hydraulics in complex geometries. Numerical Heat Transfer, Part B, 41 (2002) 263–289.
6. C. Vallee, T. Honne, H. M. Prasser, T. Suhnel, Experimental investigation and CFD simulation of horizontal stratified two-phase flow phenomena, Forschungszentrum Dresden-Rossendorf e.V., Dresden, Germany (2007).
7. N. G. Rassohin, Nuclear Power Plant Steam Generators, Atomizat, Moskva, 106 (1980).
8. A. G. Ageev, Elektricheskie stancii, 6 (1987).
9. I. Karppinen, Third Int, Sem. Horizontal Steam Generators-Lappeenranta (1994).
10. V. I. Melikhov, O. I. Melikhov, B. I. Nigmatulin, Proc. Int. Conf. Two-phase flow modelling and experimentation, 1 (1995).